

Министерство образования и науки РФ
Федеральное государственное автономное образовательное учреждение
высшего образования
«Сибирский федеральный университет»

МЕТОДИЧЕСКИЕ УКАЗАНИЯ К КУРСОВОЙ РАБОТЕ
ПО ОБЩЕЙ ФИЗИКЕ
«Рентгеноструктурный анализ»

Учебно-методическое пособие
для студентов инженерных специальностей СФУ

Электронное издание

Дисциплина Б1.Б.8 ФИЗИКА

индекс и наименование дисциплины в соответствии с ФГОС ВПО и учебным планом

Направление подготовки/специальности
« ИНЖЕНЕРНЫЕ »

Красноярск
СФУ
2017

УДК
ББК
О-280

Составители: Герасимова Юлия Валентиновна
Бурученко Александр Егорович
Москалев Александр Константинович

О-280 Методические указания к курсовой работе по общей физике «Рентгеноструктурный анализ». Учебно-методическое пособие для студентов инженерных специальностей СФУ [Электронный ресурс] / Сост.: Ю.В.Герасимов, А.Е. Бурученко, А.К. Москалев. – Электрон. дан. – Красноярск: Сиб. федер. ун-т, 2017. – Систем. требования: РС не ниже класса PentiumI; 128 Mb RAM; Windows 98/XP/7; Adobe Reader V8.0 и выше. – Загл. с экрана.

В методическом указании определены цели и задачи, решаемые в процессе выполнения и анализа результатов курсовой работы по рентгеноструктурному анализу кристаллической ячейки, минералов и твердых тел, указаны требования к уровню выполнения, порядок написания и оформления работы.

Предназначено для студентов очной и заочной формы обучения инженерных специальностей СФУ в соответствии с унифицированной программой по физике и федеральными государственными образовательными стандартами высшего образования.

Печатается в соответствии с решением кафедры «Экспериментальной физики и инновационных технологий» и методического совета института ИФиРЭ.

УДК (повтор)

ББК (повтор)

© Сибирский федеральный университет, 2016

ISBN 978-5-7638-????-(повт.)

Электронное учебное издание

Редактор И.О. Фамилия

Корректор И.О.Фамилия

Дизайнер: И.О.Фамилия

Подписано в свет (дата) 2016 г. Заказ ?????. (Дает РИО)

Уч.-изд. л. ??, ?? Мб.

Тиражируется на машиночитаемых носителях.

Библиотечно-издательский комплекс Сибирского федерального университета
660041, Красноярск, пр. Свободный, 82а
Тел. (391) 206-26-67; <http://bik.sfu-kras.ru>. E-mail: publishing_house@sfu-kras.ru

Федеральное государственное автономное образовательное учреждение
высшего профессионального образования

«СИБИРСКИЙ ФЕДЕРАЛЬНЫЙ УНИВЕРСИТЕТ»

институт инженерной физики и радиоэлектроники

Кафедра _Экспериментальной физики и инновационных технологий

Курсовая работа по общей физике

Направление (специальность): Б1.Б8 «Физика»

Тема. Определение параметров кристаллической ячейки, анализ
качественного и полуколичественного содержания минералов в твердом
теле рентгеноструктурным методом.

Студент _____

КУРС ___ СПЕЦ. _____

подпись, дата

инициалы, фамилия

УЧ.ШИФР _____

Преподаватель _____

подпись, дата

инициалы, фамилия

Оглавление

Введение.....	5
Элементы кристаллографии.....	5
Индексы Миллера	8
Дифракция на кристалле.	9
Рентгеновские лучи.....	10
Закон Вульфа-Брегга.....	11
Метод порошка в рентгеноструктурном анализе.	12
Индицирование рентгенограмм кристаллов кубической сингонии	14
Пример индицирования рентгенограммы кубической фазы Rb_2KInF_6	17
Определение качественного и полуколичественного содержания минералов в твердом теле порошковым методом	21
Литература	26
Приложение 1	26
Приложение 2	28
Приложение 3.....	30
Приложение 4.....	33

ТЕОРЕТИЧЕСКАЯ ЧАСТЬ

Введение

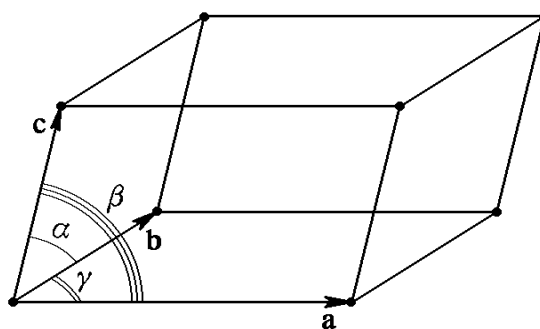
Открытые в 1895 году В.К. Рентгеном X-лучи занимают особое место в истории науки. Волновые свойства, обуславливающие дифракцию на периодических структурах, высокая проникающая способность, многообразие механизмов взаимодействия с веществом, а также простота регистрации привели к широкому применению рентгеновских лучей в физике, химии, медицине и технике.

Каждое кристаллическое вещество — минерал или его синтетический аналог, каждое химическое соединение имеет свою индивидуальную кристаллическую структуру, определяющую индивидуальность физико-химических свойств вещества. Главной задачей рентгеноструктурного анализа является определение кристаллической структуры, а именно: определении симметрии, параметров элементарных ячеек, координат атомов, тепловых параметров атомов, длин связей и углов между атомами, структурного мотива. Предлагаемое пособие посвящено определению параметров элементарной ячейки кристаллов кубической сингонии и порошковому методу освоение приемов индицирования порошковых рентгенограмм. Конечно, порошковый метод не столь фундаментален, как монокристалльный. Тем не менее к этому методу обращаются в первую очередь при постановке новой проблемы, для того что бы сразу решить вопрос о кристалличности объекта и анализу качественного и полуколичественного содержания минералов в твердом теле.

Элементы кристаллографии

Кристаллы – это тела, в которых составляющие их частицы (атомы, молекулы) образуют упорядоченную периодическую структуру.

Идеальный кристалл можно построить путем бесконечного повторения в пространстве его структурной единицы, называемой элементарной ячейкой. Элементарная ячейка имеет форму параллелепипеда (рис.1) и характеризуется 6 параметрами: длинами ребер a , b , c и углами между ними α , β , γ . Вершины такой геометрической фигуры принято называть узлами. Обычно их связывают с положениями центров атомов кристалла. При этом не все атомы попадают в вершины ячейки некоторые могут находиться на ее гранях, другие же размещаются внутри объема. Отметим, что вершинные атомы принадлежат каждой ячейке лишь на $1/8$ часть, находящиеся в центре грани – наполовину и только расположенные внутри ячейки относятся к ней целиком. Элементарная ячейка содержит исчерпывающую информацию о характере объемного расположении атомов



(сколько их и как они размещаются относительно друг друга в пространстве). Поэтому для описания пространственной решетки вполне достаточно ограничиться рассмотрением элементарной ячейки.

Рис.1. Элементарная ячейка: a , b , c – базисные векторы, α , β , γ – углы между базисными векторами

Принято различать простые (примитивные) и сложные элементарные ячейки. Простой называется такая ячейка, внутри которой нет атомов и они размещаются только в вершинах параллелепипеда, на саму ячейку приходится всего один атом. Сложной же считается ячейка, в которой атомы расположены не только в вершинах, но и внутри самой ячейки или на ее

гранях. При этом число атомов, приходящихся на ячейку, больше одного.

При описании симметрии любого кристалла используется фундаментальное понятие решетки Бравэ, которое характеризует периодическую структуру, образуемую повторяющимися элементами кристалла. Математически доказано, что всего существует 14 типов таких различных по симметрии решеток (Рис 2).

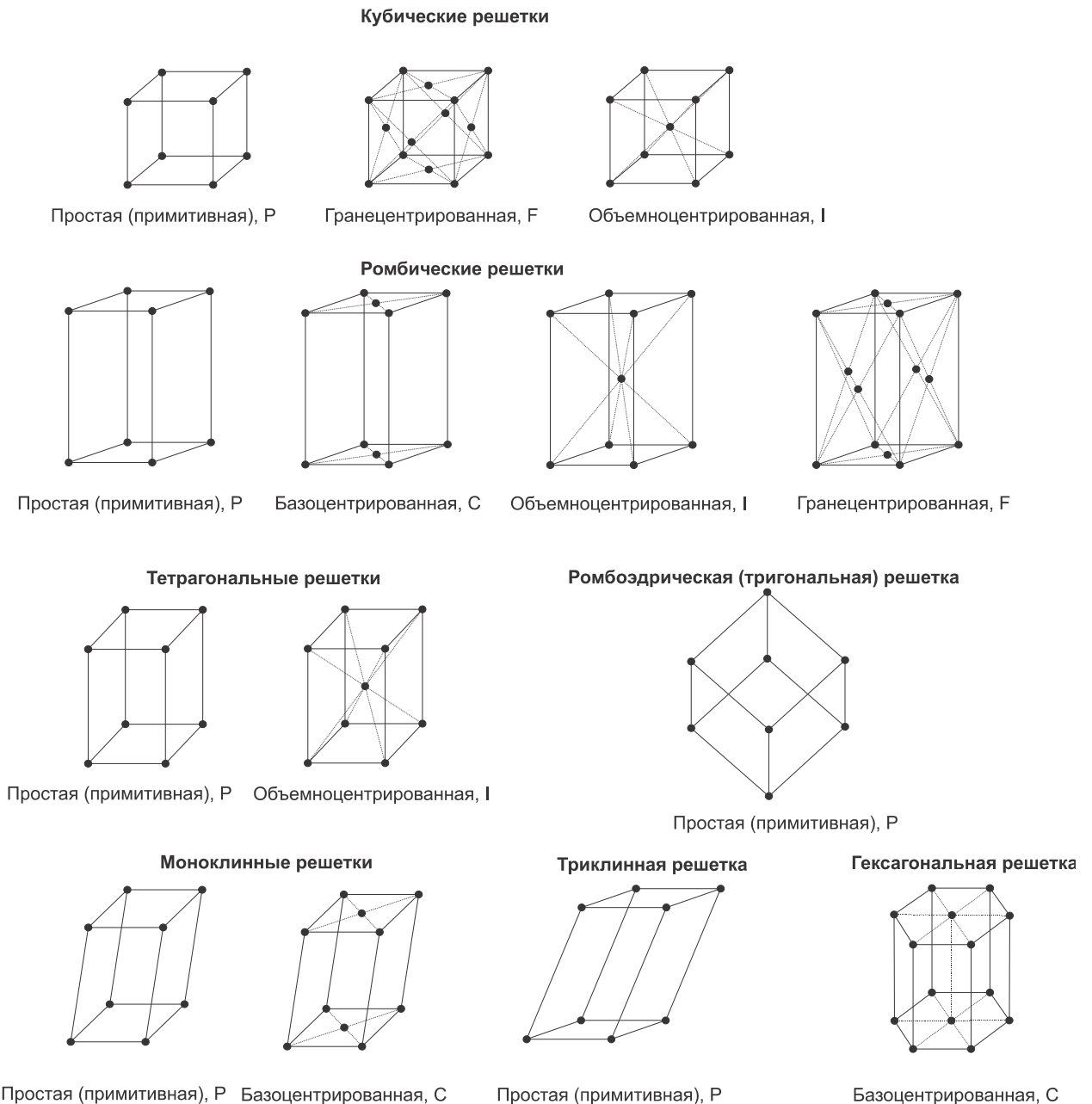


Рис.2 Решетки Бравэ

Решетки Бравэ отличаются друг от друга по форме элементарных ячеек и по симметрии и подразделяются на **7 сингоний** (Таблица 1). Решая задачу о симметрическом расположении сферических частиц (материальных точек) в пространстве, О.Бравэ пришел к указанному разделению на сингонии.

Сингония кристалла определяет соотношения между параметрами ячейки, а именно:

Таблица 1.

Категория	Сингония	a, b, c	α, β, γ
Высшая	Кубическая	$a = b = c$	$\alpha = \beta = \gamma = 90^\circ$
Средняя	Тетрагональная	$a = b \neq c$	$\alpha = \beta = \gamma = 90^\circ$
	Тригональная	$a = b \neq c$	$\alpha = \beta = 90^\circ, \gamma = 120^\circ$
	Гексагональная	$a = b \neq c$	$\alpha = \beta = 90^\circ, \gamma = 60^\circ$
Низшая	Ромбическая	$a \neq b \neq c$	$\alpha = \beta = \gamma = 90^\circ$
	Моноклинная	$a \neq b \neq c$	$\alpha = \gamma = 90^\circ, \beta \neq 90^\circ$
	Триклинная	$a \neq b \neq c$	$\alpha \neq \beta \neq \gamma$

Если одновременно указать сингонию и возможный способ центровки ячейки, то можно получить все типы кристаллических решеток.

Индексы Миллера

В кристаллографии принято характеризовать плоскости (или нормали к ним) не параметрами, а так называемыми индексами Миллера. Числа h, k, l называются индексами плоскости; индексы, написанные подряд и заключенные в круглые скобки $(h\ k\ l)$ называют символом плоскости. Этим символом характеризуется вся совокупность параллельных плоскостей. Он означает, что система параллельных плоскостей делит отрезок a на h частей, b на k и c на l частей, т.е. отсекает на осях координат отрезки $a/h, b/k, l/c$. Значит, что бы построить плоскость $(h\ k\ l)$, надо нанести на осях координат

эти отрезки и провести через них плоскость. В общем виде уравнение плоскости $(h k l)$ и всего семейства параллельных ей плоскостей будет

$$hx+ky+lz=N$$

где N – всегда целое число, $h k$ – плоскости, проходящей через начало координат, $N=0$; для плоскости ближайшей к началу координат, $N=1$.

Символы некоторых плоскостей приведены на Рис.4.

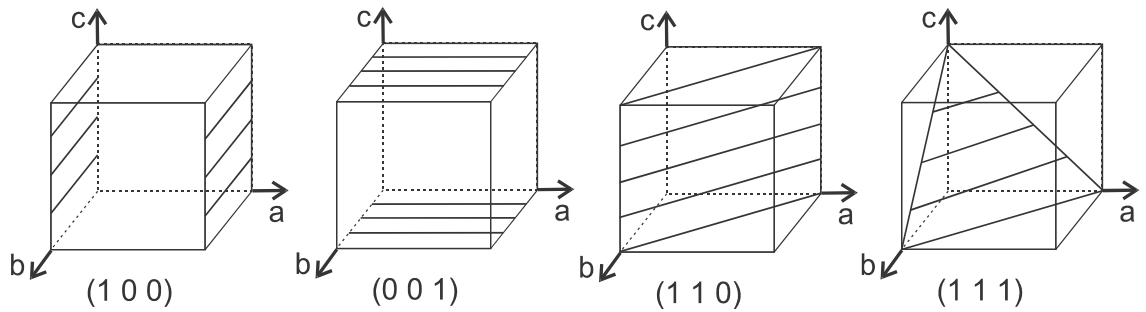


Рис.4. Символы некоторых плоскостей в кубической ячейке.

Соответствующие плоскости выделены штриховкой.

Дифракция на кристалле.

В настоящее время наиболее эффективны и развиты методы исследования кристаллической структуры, в которых используют дифракцию волн, взаимодействующих с атомными плоскостями. Длины этих волн $\lambda_{\text{иссл}}$ должны быть сравнимы с межатомными расстояниями d_{hkl} в кристалле: $\lambda_{\text{иссл}} \sim d_{hkl}$.

Исследуют структуру, используя дифракцию рентгеновских лучей, нейтронов и электронов. Для этих лучей решетка кристалла является трехмерной дифракционной решеткой. С помощью этих методов можно определить размер элементарной ячейки, положения ядер и распределение электронной плотности в ячейке кристалла. Угол, на который отклоняется дифрагированная волна, зависит от параметров ячеек и от длины волны падающего излучения.

Рентгеновские лучи.

Энергию кванта рентгеновского излучения можно определить согласно соотношению:

$$E_{\text{рент}} = h\nu_{\text{рент}} = hc/\lambda_{\text{рент}},$$

где $h = 6,62 \cdot 10^{-34}$ Дж·сек – постоянная Планка, ν и λ – частота и длина волны излучения, соответственно, c – скорость света в вакууме. Для практических целей расчета длины волны удобно записать эту формулу в виде:

$$\lambda(\text{Å}) = \frac{12,4}{E(\text{кэВ})},$$
 где длина волны λ получается в ангстремах, если взять

энергию E в килоэлектрон-вольтах ($1 \text{ эВ} = 1,60 \cdot 10^{-19}$ Дж). Отсюда следует,

что длине волны в 1 Å соответствует энергия $E \sim 12 \text{ кэВ}$. Поэтому для исследований кристаллов необходимо рентгеновское излучение с энергией квантов $10 \div 50 \text{ кэВ}$. Такое излучение можно получить за счет двух механизмов:

- торможением быстрых электронов в металлических мишенях (**тормозное излучение**). При замедлении, согласно законам электродинамики, заряженная частица должна излучать электромагнитную энергию. Такое излучение имеет широкий непрерывный спектр;

- при неупругом столкновении быстрых электронов с электронами внутренних оболочек атомов мишени (**характеристическое излучение**).

Это излучение имеет линейчатый спектр, связанный с возбуждением атомных электронов на высоко лежащие энергетические уровни. В результате спектр имеет узкие линии излучения. Например, при бомбардировке медной мишени в вакууме быстрыми электронами получается интенсивная линия излучения $K_{\alpha 1}$, $\lambda = 1,5405 \text{ Å}$; для Мо линия $K_{\alpha 1}$ имеет $\lambda = 0,7093 \text{ Å}$. Благодаря применению различных металлических мишеней, удается использовать различные длины волн монохроматического рентгеновского излучения. При падении на атом рентгеновской электромагнитной волны она может частично или полностью быть переизлучена колеблющимися в этом поле электронами

атома - без изменения частоты излучения. И, если длина волны удовлетворяет условию $\lambda_{иссл.} \sim d_{hkl}$, то наблюдаются рефлексы (линии интенсивности), возникающие в результате дифракции рентгеновских лучей на трехмерной дифракционной решетке кристалла

Закон Вульфа-Брегга

Дифракция является следствием интерференции вторичных волн,

возникающих в результате когерентного рассеяния. Ввиду того, что длины волн рентгеновских лучей соизмеримы с межатомными расстояниями кристалла, при прохождении рентгеновских лучей через вещество возникает дифракционная картина (Рис.3).

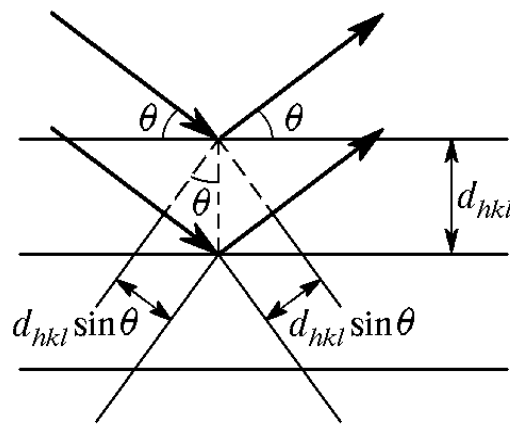


Рис.3. Дифракция на кристалле.

Предположим, что падающие волны зеркально отражаются от семейства параллельных атомных плоскостей (hkl), расстояние между которыми составляет величину d_{hkl} . Наблюдение дифрагированных пучков возможно лишь тогда, когда отраженные от параллельных атомных плоскостей пучки интерферируют с взаимным усилением. Пусть пучок лежит в плоскости чертежа (рис.3). Для лучей, отраженных от соседних плоскостей, разность хода равна $2d_{hkl}\sin\theta$, где угол θ отсчитывается от атомной плоскости. Излучение, отраженное от соседних атомных плоскостей, будет при интерференции усиливаться в том случае, если разность хода между лучами

равна целому числу длин волн λ . Тогда условие интерференционного максимума интенсивности при отражении будет иметь вид:

$$2d_{hkl} \sin\theta = n\lambda, \text{ где } n= 0, 1, 2, 3 \text{ и т.д.} \quad (1)$$

Приведенное соотношение представляет собой **закон Вульфа-Брегга**. Отметим, что, по предположению, отражение от каждой плоскости происходит зеркально, однако синфазное сложение волн от всех параллельных плоскостей может осуществляться только при определенных значениях углов θ или длин волн.

Закон Вульфа-Брегга есть следствие периодичности пространственной решетки. Он не связан с расположением атомов в ячейке или с базисом в каждом узле решетки. Расположение атомов в базисе определяет лишь относительную интенсивность дифрагированных пучков в различных порядках n для данного семейства параллельных плоскостей.

Метод порошка в рентгеноструктурном анализе.

В настоящее время регистрация дифракционной картины от порошковых образцов и поликристаллов производится с помощью автоматических дифрактометров.

В дифрактометре, предназначенном для порошковых исследований, отражения фиксируются детектором (счётчиком), который либо непрерывно поворачивается вокруг образца либо останавливается после каждого поворота на малый фиксированный угол и количество импульсов, зарегистрированное в течение заданного времени, запоминается и выводится на самописец или экран дисплея. На рис. 5 представлен вид гониометрической части современного автоматического порошкового дифрактометра Bruker D8-Advance. Типичная порошковая рентгенограмма кристалла приведена на рис. 6. По горизонтали отложены значения угла поворота счётчика, 2θ , а по вертикали – интенсивность (число импульсов в секунду). Положение каждого максимума на рентгенограмме отвечает наличию отражения от соответствующей системы плоскостей с d_{hkl} . Из этой

рентгенограммы можно определить координаты максимумов, т.е. углы 2θ , а по ним с помощью уравнения Вульфа-Брегга вычислить межплоскостные расстояния d_{hkl} .

Расположение и интенсивность линий на рентгенограмме строго индивидуальны для той или иной кристаллической фазы данного вещества. Любое изменение кристаллической структуры, например, в результате фазового перехода, меняет рентгенограмму.



Рис.5. Гониометр порошкового автоматического дифрактометра Bruker D8-Advance с линейным счетчиком импульсов рентгеновских квантов VANTEC

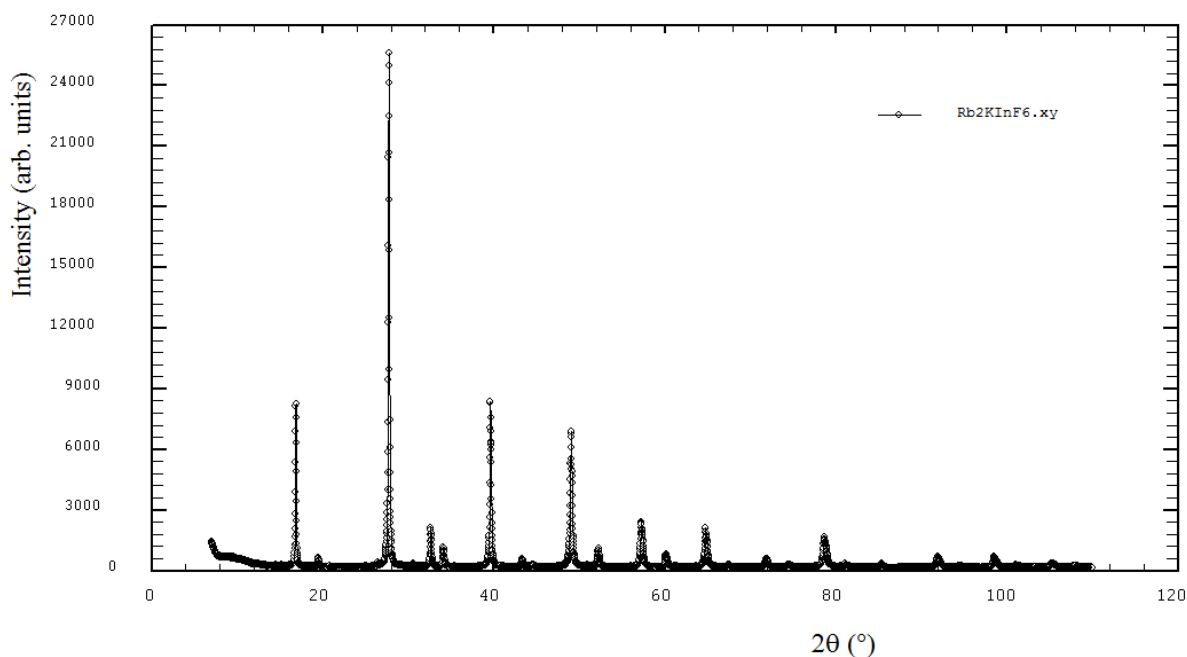


Рис.6. Рентгенограмма кубической фазы Rb_2KInF_6 при $T=296$ К, отснятая на порошковом дифрактометре Bruker D8-ADVANCE (Cu-K α излучение) с линейным детектором VANTEC. Шаг сканирования по углу 2θ равен 0.016° , экспозиция 0.6 секунды в каждой точке

Раздел 1. Индексирование рентгенограмм кристаллов кубической сингонии

Проиндексировать рентгенограмму – это значит приписать каждому рефлексу на рентгенограмме индексы тех плоскостей, при отражении от которых образовался этот рефлекс и установить параметры ячейки a , b , c , α , β , γ .

В общем случае элементарная ячейка характеризуется a , b , c – длины ребер ячейки, α , β , γ – углы между ними (рис.1). Квадрат обратного межплоскостного расстояния связан с параметрами ячейки формулой

$$\frac{1}{d_{hkl}^2} = h^2 a^{*2} + k^2 b^{*2} + l^2 c^{*2} + 2hka^*b^* \cos \gamma^* + 2lhc^*a^* \cos \beta^* + 2lkb^*c^* \cos \alpha^* \quad (2)$$

a^* , b^* , c^* , α^* , β^* , γ^* -параметры обратной ячейки; h , k , l -целые числа, индексы отражений.

Связь параметров обратной и прямой ячеек хорошо описано автором [1]. В случае кубических кристаллов формула (1) существенно упрощается, т.к.

$$a=b=c \text{ и } \alpha=\beta=\gamma=90^\circ, \text{ то } \frac{1}{d_{hkl}^2} = a^{*2}(h^2 + k^2 + l^2) \quad (3),$$

поскольку $a^* = \frac{1}{a}$, то $d_{hkl}^2 = \frac{a^2}{h^2 + k^2 + l^2}$

Для нахождения ячейки кубического кристалла необходимо найти одну величину a^* или a . Для этого необходимо приписать межплоскостным расстояниям индексы h, k, l и рассчитать параметр по формуле (2).

Следовательно, на первом этапе нужно получить набор межплоскостных расстояний d_n , которые затем можно пересчитать в $\frac{1}{d_n^2}$. Рентгенограмма

представляет собой диаграмму, где по горизонтали отложен двойной угол дифракции 2θ , а по вертикали интенсивность дифракции (рис.6). Определив положение дифракционных пиков по формуле Вульфа-Брегга можно рассчитать межплоскостные расстояния: $2d_{hkl}\sin\theta = n\lambda$, где $n = 0, 1, 2, 3$ и

т.д.,

θ_n -угол дифракции (отражения), а λ -длина волны используемого излучения.

Эти величины обозначают порядковыми номерами и располагают в порядке возрастания. Но на этом этапе нельзя приписать им верные индексы h, k, l , и

имеется ряд уравнений типа $\frac{1}{d_i^2} = a^{*2}N_i$, где $N_i = h_i^2 + k_i^2 + l_i^2$, $h_i, k_i,$

l_i , неизвестные.

После составления таких уравнений для всех значений $\frac{1}{d_i^2}$ можно их

разделить почленно на уравнение для $\frac{1}{d_1^2}$, т.е.

$$\frac{d_1^2}{d_i^2} = \frac{a^{*2}N_i}{a^{*2}N_1} = \frac{N_i}{N_1} \quad (4)$$

Если $N_1=1$ (это значит, что у первого отражения $h=1, k=0, l=0$), то вычисленные значения отношений $\frac{d_1^2}{d_i^2}$, равны целым числам из ряда допустимых значений N_i (т.е. суммы квадратов трех чисел), при этом ячейка является примитивной (P).

Если $N_1=2$ (индексы первого отражения (110), а отражение (100) по какой-то причине отсутствует), то возможны два случая :

- а) N_i четное число и отношение равно целому числу;
- б) N_i нечетное число и отношение -число, оканчивающееся на 5, т.е. 1,5; 2,5 и т.д.

Таким образом если у нас в ряду N_i/N_1 встречаются числа типа 1,5; 2,5 и т.д., то $N_1=2$ при этом ячейка является объемноцентрированной (I).

Если $N_1=3$ (первое отражение (111) и отсутствует (100) и (110)), то отношение может иметь после запятой 0,333... или 0,666... , при этом ячейка является гранецентрированной (F).

Следует помнить, что экспериментально значения $\frac{1}{d^2}$ определяются с ошибками, поэтому указанные соотношения выполняются только приблизительно, поэтому после умножения на N_1 все полученные числа нужно округлить до целых.

После индцирования рентгенограммы определяется параметр ячейки усреднением по нескольким отражениям, имеющим большие θ , т.к. относительная погрешность определения межплоскостных расстояний дается формулой:

$$\left| \frac{\Delta d}{d} \right| = |\operatorname{ctg} \Theta \Delta \Theta| \quad (5)$$

которая получается дифференцированием формулы Брегга-Вульфа (1).

Видно, что Δd стремится к нулю, если $\theta \rightarrow 90^\circ$, т.е. по отражениям, расположенных на больших углах, d определяется более точно.

Далее анализируя ряд отношений чисел $\left(\frac{d_1^2}{d_i^2}\right)_{N_1}$, можно установить тип ячейки: примитивная, объемноцентрированная или гранецентрированная. В примитивной ячейке (решетке) разрешены любые индексы отражений, поэтому указанный ряд должен содержать любые целые числа, которые можно представить суммой квадратов трех целых чисел. Среди положительных чисел от 1 до 70 числа 7, 15, 23, 28, 31, 39, 47, 55, 60 и 63 не удовлетворяют последнему условию. В объемноцентрированной (I) и гранецентрированной (F) существуют определенные запреты на индексы дифракции. В I-решетке сумма индексов h, k, l для одного отражения всегда четная, в F-решетке присутствуют отражения, индексы которых либо все четные либо все нечетные (например: 111, 200, 220, 311 и т.д.). Соответственно ряды отношений для этих решеток такие:

I – 2:4:6:8:10:12:14:16:18:20:.....

F – 3:4:8:11:12:16:19:20:24:27:.....

Окончательный результат индицирования должен быть таким:

- а) определены индексы всех отражений;
- б) определен параметр ячейки с указанием ошибки;
- в) определен тип решетки.

Пример индицирования рентгенограммы кубической фазы

Rb₂KInF₆ (рис. 6).

Запускаем программу Winplotr. О работе программы Winplotr в приложении 1. Открываем при помощи Winplotr файл с рентгеновскими данными “Rb₂KInF₆”. В Winplotr строим рентгенограмму Rb₂KInF₆. Перемещая курсор вдоль оси x , находим значения углов $2\theta_i$ для каждого i -го максимума рефлексов (линий интенсивности) на рентгенограмме. Заносим

полученные результаты в таблицу 2. Определяем $2\sin\theta_i$ (обратите внимание, что у нас угол $2\theta_i$), полученное значение заносим в таблицу 2. Далее определяем d_i согласно уравнению $d_n = \frac{\lambda}{2\sin\theta_n}$, $\lambda=1,5405 \text{ \AA}$, затем полученные d_i возводим в квадрат и все это заносим в таблицу 2. Последнее значение, которое мы должны внести в таблицу, это отношение $\frac{d_1^2}{d_i^2}$

$$1) (d_1^2)27.9957: (d_1^2)27.9957=1$$

$$2) (d_1^2)27.9957: (d_2^2)20.8569=1.342 \text{ и т.д.}$$

Таблица 2. Расчет рентгенограммы кубической фазы Rb_2KInF_6 (излучение $\text{Cu K}_{\alpha 1}$, $\lambda = 1,5405 \text{ \AA}$)

№	$2\theta_i, ^\circ$	$2\sin\theta_i$	d_i	d_i^2	$\frac{d_1^2}{d_i^2}$
1	16.7411	0.2911	5.2911	27.9957	1
2	19.4196	0.3373	4.5669	20.8569	1.342
3	27.5893	0.4768	3.2303	10.4350	2.683
4	32.5446	0.5604	2.7489	7.5564	3.7048
5	34.0179	0.5850	2.6331	6.9334	4.0378
6	39.3750	0.6737	2.2863	5.2274	5.3555
7	43.1250	0.7350	2.0958	4.3924	6.3736
8	44.4643	0.7567	2.0357	4.1443	6.7552
9	49.0179	0.8296	1.8567	3.4475	8.1205
10	52.0982	0.8782	1.7539	3.0764	9.1001

11	57.0536	0.9551	1.6128	2.6012	10.7626
12	60.000	1	1.5405	2.3731	11.7951
13	64.6875	1.0699	1.4397	2.0728	13.5062
14	67.3661	1.1091	1.3888	1.9288	14.5145
15	71.7857	1.1725	1.3138	1.7261	16.2190
16	74.4643	1.2100	1.2730	1.6206	17.2748
17	78.4822	1.2651	1.2176	1.4826	18.8828
18	81.0268	1.2992	1.1856	1.4058	19.9144
19	85.1786	1.3534	1.1381	1.2954	21.6116
20	91.7411	1.4355	1.0731	1.1515	24.3123
21	94.4196	1.4676	1.0496	1.1016	25.4136
22	98.4375	1.5144	1.0172	1.0347	27.0568

Анализируем ряд отношений чисел $\frac{d_1^2}{d_i^2}$, чтобы установить тип ячейки. В таблице мы видим дробные числа: 1.342, 2.683, 3.7048, которые фактически равны N_i/N_1 . Умножим их на N_1 из ряда возможных (1, 2, 3, ..) чтобы получить возможные значения N_i . Прodelываем: $1.342*1=1.342$, $1.342*2=2,684$, $1.342*3=4,026$ и т.д. видим, что при $N_1 = 1$ и $N_2 = 2$ получаются дробные числа, не округляющиеся до целого, а при $N_1 = 3$, получается число 4,026, очень близкое к целому числу 4. Так как N_i обязаны быть целочисленными, то варианты $N_1 = 1$ и $N_2 = 2$ отпадают и остается вариант $N_1=3$, соответствующий гранцентрированной (F) ячейке. Составляем таблицу всех N_i .

Для того что бы вычислить параметры ячейки по всем рефлексам нужно знать все их индексы. Для этого нам потребуется проанализировать числа

$N_i = \left(\frac{d_1^2}{d_i^2}\right)N_1$, которые мы будем округлять до целого числа, поскольку с другой стороны $N_i = h_i^2 + k_i^2 + l_i^2$

Теперь любое число во втором столбце таблицы 3 можно представить как сумму квадратов трех целых чисел, которые и будут искомыми индексами плоскостей. Например:

$$1 = 0^2 + 0^2 + 1^2 \rightarrow (001); 2 = 0^2 + 1^2 + 1^2 \rightarrow (011); 3 = 1^2 + 1^2 + 1^2 \rightarrow (111);$$

$$4 = 0^2 + 0^2 + 2^2 \rightarrow (002).$$

Таблица 3.

i	$N_i = \left(\frac{d_1^2}{d_i^2}\right)N_1$	(h_i, k_i, l_i)	$a, \text{Å}$
1	3	(1,1,1)	9.1645
2	4	(2,0,0)	9.1338
3	8	(2,2,0)	9.1367
4	11	(3,1,1)	9.1171
5	12	(2,2,2)	9.1213
6	16	(4,0,0)	9.1452
7	19	(3,3,1)	9.1354
8	20	(4,2,0)	9.1039
9	24	(4,2,2)	9.0959
10	27	(3,3,3)	9.1135
11	32	(4,4,0)	9.1233
12	35	(5,3,1)	9.1137
13	41	(6,2,1)	9.2186
14	44	(6,2,2)	9.2123
15	49	(7,0,0)	9.1966
16	52	(6,4,0)	9.1798

17	57	(5,4,4)	9.1927
18	59	(5,5,3)	9.1068
19	65	(6,5,2)	9.1756
20	73	(6,6,1)	9.1685
21	76	(6,6,2)	9.1502
22	81	(9,0,0)	9.1548

Итак мы определили, что $N_1=3$, т.е. индексы $h, k, l = (1,1,1)$. А следовательно согласно формуле $d_{hkl}^2 = \frac{a^2}{h^2 + k^2 + l^2}$ мы уже можем определить параметр ячейки $a = d_{hkl} \sqrt{h^2 + k^2 + l^2}$ где $h, k, l = (1,1,1)$. Подставляем числа $a = 5.2911 \sqrt{1^2 + 1^2 + 1^2} = 9.1645$, но поскольку низкоугловые рефлекссы измеряются с невысокой точностью, то для более точно определения параметра ячейки по высокоугловому рефлекссу лучше усреднить все полученные значения по всем рефлекссам. Среднее значение $a=9.1517\text{Å}$. Таким образом мы получили, что кристалл Rb_2KInF_6 имеет гранецентрированную (F) ячейку с параметром $a=9.1517\text{Å}$.

Раздел 2. Определение качественного и полуколичественного содержания минералов в твердом теле порошковым методом

В основе качественного и полуколичественного содержания минералов в твердом теле порошковым рентгеноструктурным методом лежит явление дифракции от пространственной кристаллической решетки минералов. В научно-исследовательских лабораториях с помощью этого метода определяют минеральный состав в горных и глинистых породах, в руде для производства черных и цветных металлов, в отходах промышленных предприятий, в цементах и т.д. Это позволяет дать оценку пригодности данного сырья для производства той или иной продукции, оценить качество выпускаемых изделий и их свойства.

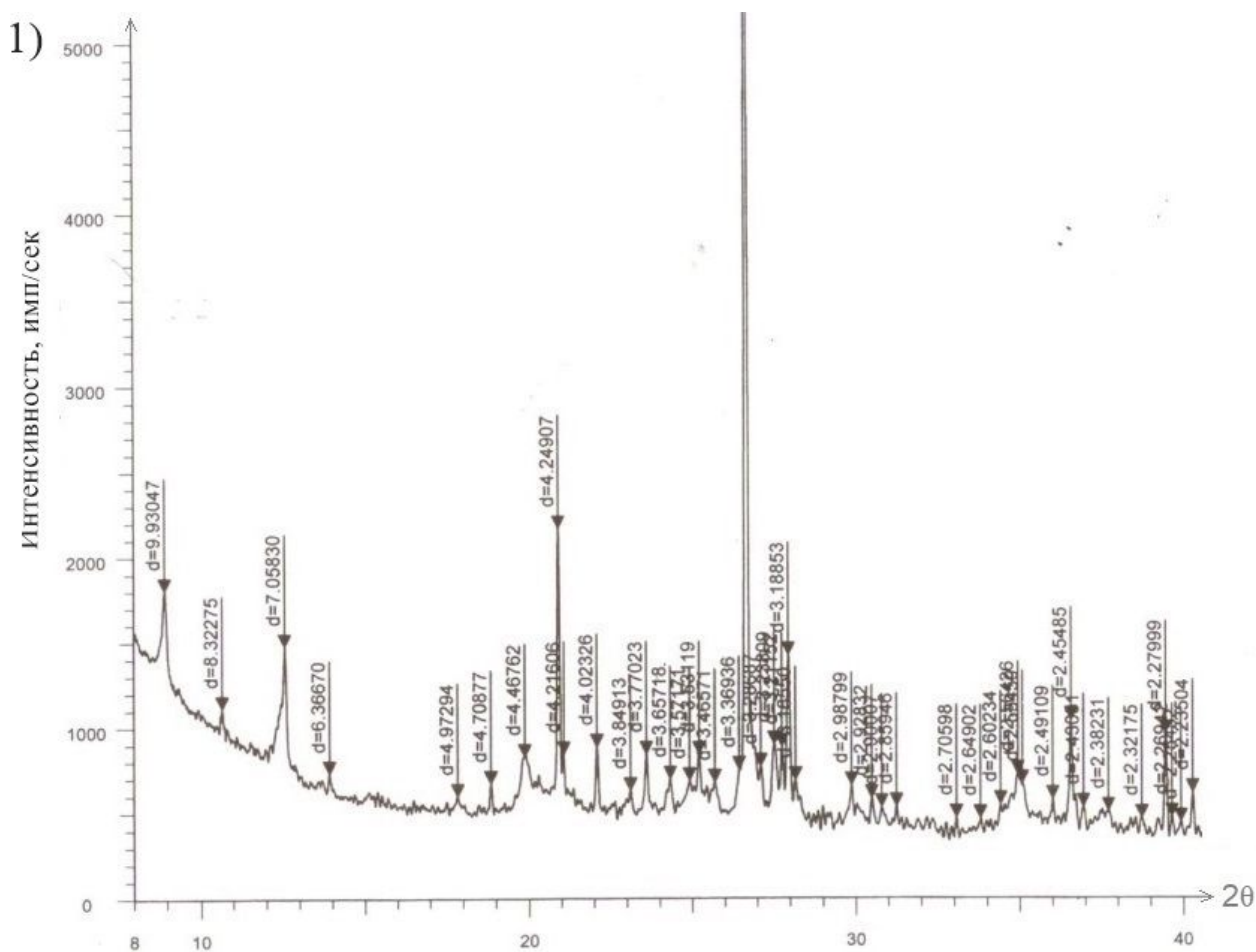
Например, в строительной отрасли данный метод широко используется для определения возможности использования природного и вторичного сырья в производстве керамики, теплоизоляционных и стеклокристаллических материалов, в машиностроительной отрасли – для оценки качества изготавливаемой продукции и т.д.

Для определения качественного и полуколичественного содержания минералов в представленной пробе она размалывается в порошок и

помещается в кюветку рентгеновского аппарата (см. рис.5) На нее направляется рентгеновский луч, направление которого автоматически изменяется от 0°C до 120°C . Отраженный от образца луч попадает в детектор (счетчик импульсов), который на ленточной диаграмме фиксирует рефлексы (линии интенсивности).

Каждый из присутствующих в пробе минералов имеет свое определенное межплоскостное расстояние (d), от которого под разными углами расходятся лучи. Они интерферируют между собой и образуют линии разной интенсивности в различных точках на рентгенограмме. Наличие линии интенсивности (рефлекса) того или иного минерала определяет его качественное содержание в пробе, а высота линии интенсивности отражает его количественное содержание.

В современных рентгеновских аппаратах машина сама рассчитывает межплоскостное расстояние d для каждой линии интенсивности и записывает его на рентгенограмме (см. рис.7-1)



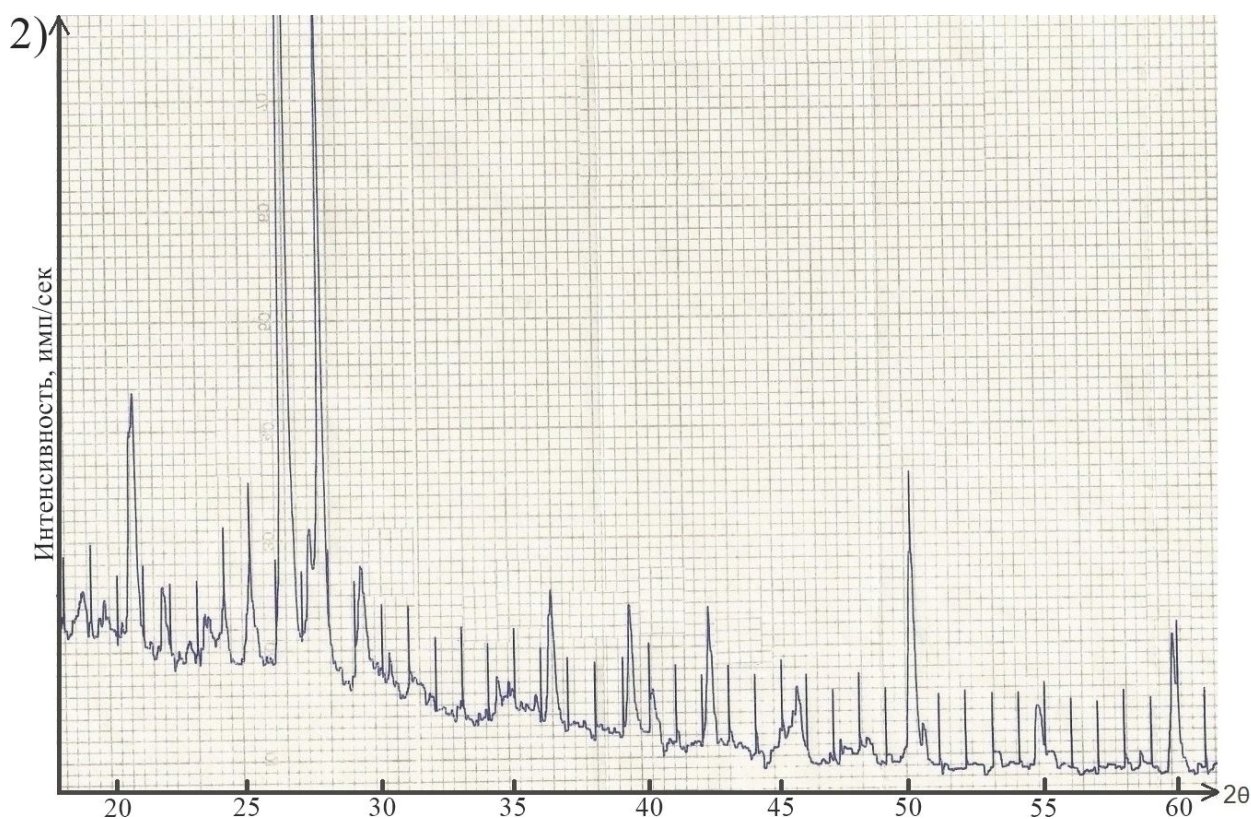


Рис.7 Рентгенограммы, отражающие содержание минералов в твердом теле.

В ранее изготавливаемых аппаратах фиксировался только угол поворота образца или угол падения рентгеновского луча на образец, а межплоскостное расстояние d рассчитывалось (см. рис.7-2).

Расчет межплоскостного расстояния производится следующим образом.

Вначале на рентгенограмме проставляются углы поворота образца, чтобы у каждого рентгенографического пика определить угол 2θ в градусах и минутах (см. рис.8). Затем этот угол делится пополам и находится θ . По значению θ в таблице межплоскостных расстояний находится d (см. приложение 2).

В таблице приложение 2 в верхней части приведены углы θ в градусах, а по вертикали – в левом столбце обозначенного «v» углы в минутах. Все остальные вертикальные столбцы определяют межплоскостное расстояние (Справа от столба с межплоскостным расстоянием указывается их разность).

Пример расчета межплоскостного расстояния.

На рентгенограмме проставляем углы поворота образца (см. рис.8)

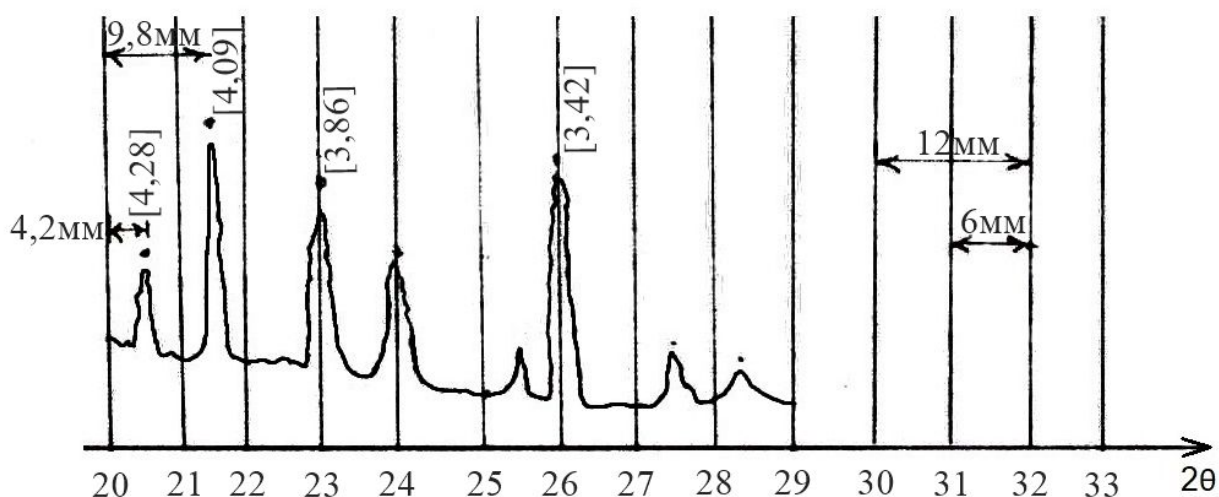


Рис.8 Рентгенограмма, отражающая содержание минералов в твердом теле.

Затем, учитывая, что от одного градуса до следующего 50' мин. рассчитывается на каком градусе с учетом минут находится рассматриваемый пик. Этот угол надо разделить пополам и найти его значение в таблице межплоскостных расстояний. (см. приложение 2).

Например:

1. Если пик четко приходится на отметке четного градуса, например 26°, тогда его делим пополам и получаем угол $\theta = 13^\circ$. Затем смотрим таблицу межплоскостных расстояний и находим для этого угла $d = 3,4172$ ($d \approx 3,42$)

2. Если пик четко приходится на отметку нечетного градуса, например 23°, тогда его делим пополам и получим $\theta = 11^\circ 50'$ (так как от одного четного угла до последующего четного расстояние равно 100' (сто минут)). Этому углу $\theta = 11^\circ 50'$ соответствует в таблице межплоскостных расстояний $d = 3,8557$ ($d \approx 3,86$)

3. Если пик приходится на отметку между четными и нечетными градусами, например 20°-21°, что соответствует θ между $10^\circ 00'$ - $10^\circ 50'$, тогда угол будет 10° , а минуты рассчитываются по формуле: $\frac{50'}{6 \text{ мм}} \times 4,2 \text{ мм} = 35'$. (расстояние на рентгенограмме от одного градуса до следующего 6мм) Итого получаем $\theta = 10^\circ 35'$. Смотрим в таблицу и находим $d = 4,2787$ ($d \approx 4,28$)

4. Если пик приходится на отметку между нечетными и четными градусами, например между 21° и 22°, что соответствует θ между $10^\circ 50'$ - $11^\circ 00'$, тогда угол будет 10° , а минуты рассчитываются по формуле: $\frac{100'}{12 \text{ мм}} \times 9,8 \text{ мм} = 81,6 \approx 82'$. Итого будет угол $\theta = 10^\circ 82'$, что соответствует $d = 4,0948$ ($d \approx 4,09$)

Затем производится расшифровка рентгенограммы. Вначале оценивается интенсивность линий (рефлексов). Интенсивность принято оценивать по десятибалльной шкале. Самая высокая линия интенсивности принимается за 10 баллов, самая маленькая – за один балл. Остальным пикам примерно соответственно их высоте приписывают промежуточные значения. Интенсивность пиков обозначается латинской буквой J.

Для установления принадлежности линий интенсивности рентгенограмм к определенным минералам используют «ключ» минералов (см. приложение 3).

При совпадении межплоскостного расстояния на рентгенограмме линии интенсивности какого-либо минерала как по значению d и по величине интенсивности с межплоскостным расстоянием минерала, приведенного в «ключе» предполагают, что этот минерал присутствует в пробе. В случае совпадения на рентгенограмме большинства линий d и J этого минерала с представленными в «ключе» считают, что он присутствует в пробе. Результаты по определению d и J заносятся в таблицу 5. Для определения полуколичественного содержания минерала в пробе подсчитываем высоту всех его пиков и находим среднее значение. Затем складываем средние значения всех минералов и определяем их процентное содержание.

Таблица 5

№ пика	Угол 2θ , град.	Угол θ , град.	d межплоск. расст-е	J интенс., имп/сек	Минерал	h высота линий, мм
1	26°28'	13°14'	3,3464	10	кварц	120
2	36°22'	18°11'	2,4585	5	кварц	28
3	38°30'	19°15'	2,2893	5	кварц	26
4	42°44'	21°22'	2,1238	5	кварц	27
5	50°00'	25°00'	1,8129	9	кварц	54
						$h_{cp}=61,8$
1	26°84'	13°42'	3,2135	10	альбит	98
2	30°10'	15°05'	2,9508	6	альбит	12
3	38°40'	19°20'	2,3142	4	альбит	3
						$h_{cp}=37,6$
1	24°63'	12°34'	3,5909	10	каолинит	22
2	38°16'	19°04'	2,3421	8	каолинит	12
3	44°34'	22°17'	1,9936	6	каолинит	6
						$h_{cp}=13,3$

Складываем все средние значения минералов:

$$61,8+37,6+13,3=112,7 \text{ (100\%)}$$

Определяем содержание кварца, альбита и каолинита:

$$61,8/112,7*100=54,8\%$$

$$37,6/112,7*100=33,3\%$$

$$13,3/112,7*100=11,9\%$$

Вывод. Содержание в представленной пробе:

-кварца ~ 55%, альбита ~ 33%, каолинита ~ 12%

Литература

[1] Структурные исследования [Электронный ресурс] : курс лекций /

А. Д. Васильев. – Электрон. дан. (6 Мб). – Красноярск : ИПК СФУ, 2009. –

[2] Шаскольская М.П. Кристаллография: учебное пособие для студентов высших технических учебных заведений. 1984. –376 с.

[3] Г.Липсон, Г. Стипл. Интерпретация порошковых рентгенограмм. 1972.– 384 с.

4.Толкачев С.С. Таблица межплоскостных расстояний.Изд-во ЛГУ, 1955 г.

5.Михеев В.И. Рентгенометрический определитель минералов. М. Стройиздат,1966 г. 986 с.

Приложение 1

Работа с программой Winplotr. В папке **Winplotr2005Jan** имеется два файла. Запускаете **exe** файл. Появится окно. В левом верхнем углу выбираете **File -> Open pattern file ->** выбираете формат (надо **X,Y data + INSTRM 10 -> нажимаете Ok ->** указываете путь и имя файла с экспериментом ->

нажимаете открыть). Все файлы с экспериментальными рентгенограммами собраны в одной папке **Рентгенограммы**.

Левой кнопкой мыши можно выделить участок и он увеличится. Правой кнопкой если нажать в любом месте, то сбросится увеличение. Внизу есть бегунок, **X = ЧИСЛО, Y = ЧИСЛО. X = это 2Theta, Y = это интенсивность в месте курсора.**

В "**Points selection**" наверху есть **Automatic peak search**. Появляется таблица с параметрами. Ими надо поиграть, чтобы корректно находились все пики. Нажмите Ok и находятся все пики. Надо выбрать **Search Cu Ka1/Ka2 doublets**, чтобы Ka2 пики автоматически определялись и не включались в список рефлексов.

Приложение 2

U	10°	11°	12°	13°	14°	15°	16°	17°	18°	19°
00	4,4268	4,0286	3,6972	3,4172	3,1775	2,9700	2,7888	2,6292	2,4876	2,3611
02	4,4180	4,0214	3,6912	3,4120	3,1730	2,9662	2,7854	2,6262	2,4849	2,3587
04	4,4093	4,0142	3,6851	3,4069	3,1686	2,9623	2,7820	2,6232	2,4822	2,3563
06	4,4006	4,0070	3,6791	3,4018	3,1642	2,9585	2,7781	2,6202	2,4796	2,3539
08	4,8920	3,9990	3,6731	3,3966	3,1598	2,9540	2,7751	2,6172	2,4764	2,3516
10	4,3834	3,9928	3,6671	3,3915	3,1554	2,9508	2,7719	2,6143	2,4743	2,3492
12	4,3748	3,9857	3,6612	3,3865	3,1510	2,9470	2,7686	2,6113	2,4716	2,3468
14	4,3663	3,9786	3,6552	3,3814	3,1466	2,9432	2,7663	2,6083	2,4690	2,3445
16	4,3578	3,9716	3,6493	3,3764	3,1423	2,9394	2,7619	2,6054	2,4664	2,3421
18	4,3493	3,9646	3,6434	3,3713	3,1379	2,9356	2,7586	2,6025	2,4637	2,3398
20	4,3407	3,9576	3,6375	3,3663	3,1336	2,9318	2,7553	2,5995	2,4611	2,3374
22	4,3324	3,9506	3,6317	3,3613	3,1293	2,9281	2,7520	2,5966	2,4585	2,3351
24	4,3240	3,9437	3,6258	3,3563	3,1250	2,9243	2,7487	2,5937	2,4559	2,3327
26	4,3159	3,9368	3,6200	3,3513	3,1207	2,9206	2,7454	2,5908	2,4533	2,3304
28	4,3074	3,9299	3,6142	3,3464	3,1164	2,9168	2,7421	2,5879	2,4507	2,3281
30	4,2991	3,9230	3,6084	3,3414	3,1122	2,9131	2,7388	2,5850	2,4481	2,3258
32	4,2909	3,9162	3,6026	3,3365	3,1079	2,9094	2,7356	2,5821	2,4456	2,3234
34	4,2827	3,9094	3,5969	3,3316	3,1036	2,9057	2,7323	2,5792	2,4430	2,3211
36	4,2745	3,9026	3,5912	3,3267	3,0994	2,9020	2,7291	2,5763	2,4404	2,3188
38	4,2664	3,8958	3,5854	3,3218	3,0952	2,8983	2,7258	2,5734	2,4378	2,3165
40	4,2583	3,8891	3,5797	3,3170	3,0910	2,8947	2,7226	2,5705	2,4353	2,3142
42	4,2502	3,8823	3,5741	3,3121	3,0868	2,8910	2,7194	2,5677	2,4327	2,3119
44	4,2421	3,8756	3,5684	3,3073	3,0826	2,8874	2,7161	2,5648	2,4302	2,3097
46	4,2341	3,8689	3,5628	3,3024	3,0784	2,8837	2,7129	2,5620	2,4276	2,3074
48	4,2261	3,8623	3,5572	3,2976	3,0743	2,8801	2,7097	2,5591	2,4251	2,3051
50	4,2181	3,8857	3,5516	3,2928	3,0701	2,8765	2,7065	2,5563	2,4226	2,3028
52	4,2102	3,8491	3,5460	3,2881	3,0660	2,8728	2,7033	2,5535	2,4201	2,3006
54	4,2023	3,8425	3,5404	3,2833	3,0619	2,8692	2,7002	2,5506	2,4175	2,2983
56	4,1946	3,8359	3,5349	3,2786	3,0577	2,8656	2,6970	2,5478	2,4150	2,2960
58	4,1868	3,8294	3,5293	3,2738	3,0536	2,8620	2,6938	2,5450	2,4125	2,2938
60	4,1788	3,8229	3,5238	3,2691	3,0496	2,8585	2,6907	2,5422	2,4100	2,2915
62	4,1710	3,8164	3,5183	3,2644	3,0455	2,8549	2,6875	2,5395	2,4075	2,2893
64	4,1633	3,8099	3,5128	3,2597	3,0414	2,8513	2,6844	2,5367	2,4050	2,2871
66	4,1556	3,8036	3,5074	3,2550	3,0373	2,8478	2,6812	2,5339	2,4025	2,2848
68	4,1479	3,7971	3,5019	3,2503	3,0333	2,8442	2,6781	2,5311	2,4001	2,2826
70	4,1402	3,7907	3,4965	3,2457	3,0293	2,8407	2,6750	2,5283	2,3976	2,2804
72	4,1326	3,7843	3,4911	3,2410	3,0252	2,8372	2,6719	2,5256	2,3951	2,2781
74	4,1250	3,7779	3,4857	3,2364	3,0212	2,8337	2,6688	2,5228	2,3927	2,2759
76	4,1174	3,7716	3,4803	3,2318	3,0172	2,8302	2,6657	2,5201	2,3902	2,2737
78	4,1099	3,7653	3,4750	3,2272	3,0132	2,8267	2,6626	2,5173	2,3877	2,2715
80	4,1023	3,7590	3,4697	3,2226	3,0092	2,8232	2,6596	2,5146	2,3853	2,2693
82	4,0948	3,7527	3,4643	3,2180	3,0053	2,8197	2,6565	2,5119	2,3828	2,2671
84	4,0874	3,7465	3,4590	3,2135	3,0013	2,8162	2,6534	2,5091	2,3804	2,2649
86	4,0799	3,7402	3,4538	3,2089	2,9974	2,8128	2,6504	2,5064	2,3780	2,2627
88	4,0725	3,7340	3,4485	3,2044	2,9934	2,8073	2,6473	2,5037	2,3756	2,2605
90	4,0851	3,7279	3,4432	3,1999	2,9895	2,8059	2,6443	2,5010	2,3731	2,2584
92	4,0578	3,7217	3,4380	3,1954	2,9856	2,8024	2,6412	2,4983	2,3707	2,2562
94	4,0504	3,7155	3,4327	3,1909	2,9817	2,7990	2,6382	2,4956	2,3683	2,2540
96	4,0431	3,7094	3,4275	3,1864	2,9778	2,7956	2,6352	2,4929	2,3659	2,2518
98	4,0359	3,7033	3,4224	3,1819	2,9734	2,7922	2,6322	2,4902	2,3635	2,2497
100	4,0286	3,6972	3,4172	3,1775	2,9700	2,7888	2,6292	2,4876	2,3611	2,2475

υ	20	21	22	23	24	25	26	27	28	29										
00	2,2475	21	2,1450	20	2,0520	18	1,9673	16	1,8899	15	1,8189	14	1,7535	12	1,6932	12	1,6374	11	1,5856	10
02	2,2454	22	2,1430	19	2,0508	17	1,9657	16	1,8884	14	1,8175	13	1,7523	13	1,6920	11	1,6363	11	1,5846	10
04	2,2432	21	2,1411	19	2,0485	18	1,9641	16	1,8870	15	1,8162	14	1,7510	12	1,6909	12	1,6352	10	1,5836	10
06	2,2411	22	2,1392	20	2,0467	18	1,9625	16	1,8855	15	1,8148	13	1,7498	13	1,6897	11	1,6342	11	1,5826	10
08	2,2389	21	2,1372	19	2,0449	17	1,9609	16	1,8840	15	1,8135	14	1,7485	12	1,6886	12	1,6331	11	1,5816	10
10	2,2368	21	2,1353	19	2,0432	18	1,9593	16	1,8825	14	1,8121	13	1,7473	13	1,6874	11	1,6320	11	1,5806	10
12	2,2347	22	2,1334	20	2,0414	17	1,9577	16	1,8811	15	1,8108	14	1,7460	12	1,6863	12	1,6309	10	1,5796	10
14	2,2325	21	2,1314	19	2,0397	18	1,9561	16	1,8796	15	1,8094	13	1,7448	12	1,6851	11	1,6299	11	1,5786	10
16	2,2304	21	2,1295	19	2,0379	17	1,9545	16	1,8781	14	1,8081	14	1,7436	13	1,6840	12	1,6288	10	1,5776	10
18	2,2283	21	2,1276	19	2,0362	17	1,9529	16	1,8767	15	1,8067	13	1,7423	12	1,6828	11	1,6278	11	1,5766	10
20	2,2262	21	2,1257	19	2,0345	18	1,9513	16	1,8752	14	1,8054	14	1,7411	13	1,6817	11	1,6267	11	1,5756	9
22	2,2241	21	2,1238	19	2,0327	17	1,9497	16	1,8738	15	1,8040	13	1,7398	12	1,6806	12	1,6256	10	1,5747	10
24	2,2220	21	2,1219	19	2,0310	17	1,9481	16	1,8723	14	1,8027	13	1,7386	12	1,6794	11	1,6246	11	1,5737	10
26	2,2199	20	2,1200	19	2,0293	18	1,9465	15	1,8709	15	1,8014	14	1,7374	12	1,6783	12	1,6235	10	1,5727	10
28	2,2179	21	2,1181	19	2,0275	17	1,9450	16	1,8694	14	1,8000	13	1,7362	13	1,6771	11	1,6225	11	1,5717	10
30	2,2158	21	2,1162	19	2,0258	17	1,9434	16	1,8680	15	1,7987	13	1,7349	12	1,6760	11	1,6214	10	1,5707	9
32	2,2137	21	2,1143	19	2,0241	18	1,9418	16	1,8665	14	1,7974	13	1,7337	12	1,6749	12	1,6204	11	1,5698	10
34	2,2116	21	2,1124	19	2,0223	17	1,9402	15	1,8651	14	1,7961	14	1,7325	12	1,6737	11	1,6193	10	1,5688	10
36	2,2095	21	2,1105	19	2,0206	17	1,9387	16	1,8637	15	1,7947	13	1,7313	13	1,6726	11	1,6183	11	1,5678	9
38	2,2074	20	2,1086	19	2,0189	17	1,9371	16	1,8622	14	1,7934	13	1,7300	12	1,6715	11	1,6172	10	1,5669	10
40	2,2054	21	2,1067	18	2,0172	17	1,9355	15	1,8608	14	1,7921	13	1,7288	12	1,6704	12	1,6162	11	1,5659	10
42	2,2033	20	2,1049	19	2,0155	17	1,9340	16	1,8594	15	1,7908	13	1,7276	12	1,6693	11	1,6151	10	1,5649	10
44	2,2013	21	2,1030	19	2,0138	17	1,9324	15	1,8579	14	1,7895	13	1,7264	12	1,6681	11	1,6141	10	1,5640	9
46	2,1992	21	2,1011	18	2,0121	17	1,9309	16	1,8565	14	1,7882	13	1,7252	12	1,6670	11	1,6131	11	1,5630	10
48	2,1971	21	2,0993	19	2,0104	17	1,9293	15	1,8554	14	1,7869	14	1,7240	12	1,6659	12	1,6120	10	1,5620	10
50	2,1950	21	2,0974	19	2,0087	17	1,9278	16	1,8537	15	1,7855	13	1,7228	12	1,6647	11	1,6110	10	1,5610	9
52	2,1929	20	2,0955	18	2,0070	17	1,9262	15	1,8522	14	1,7842	13	1,7216	12	1,6636	11	1,6100	11	1,5601	10
54	2,1909	20	2,0937	19	2,0053	17	1,9247	16	1,8508	14	1,7829	13	1,7204	12	1,6625	11	1,6089	10	1,5591	9
56	2,1889	21	2,0918	18	2,0036	16	1,9231	15	1,8494	14	1,7816	13	1,7192	12	1,6614	11	1,6079	10	1,5588	10
58	2,1868	20	2,0900	19	2,0020	17	1,9216	15	1,8480	14	1,7803	13	1,7180	12	1,6603	11	1,6069	11	1,5572	9
60	2,1848	20	2,0881	18	2,0003	17	1,9201	16	1,8466	14	1,7790	13	1,7168	12	1,6592	11	1,6058	10	1,5563	10
62	2,1828	21	2,0863	18	1,9986	17	1,9185	15	1,8452	14	1,7777	13	1,7156	12	1,6581	11	1,6048	10	1,5553	10
64	2,1807	20	2,0845	19	1,9969	16	1,9170	15	1,8438	14	1,7764	12	1,7144	12	1,6570	11	1,6038	11	1,5543	9
66	2,1787	20	2,0826	18	1,9953	17	1,9155	15	1,8424	14	1,7764	13	1,7132	12	1,6559	11	1,6027	10	1,5534	10
68	2,1767	20	2,0808	18	1,9936	17	1,9140	16	1,8410	14	1,7752	13	1,7120	11	1,6548	11	1,6017	10	1,5524	9
70	2,1747	20	2,0790	18	1,9919	16	1,9124	15	1,8396	14	1,7726	13	1,7108	12	1,6537	11	1,6007	10	1,5515	10
72	2,1727	20	2,0772	19	1,9903	17	1,9109	15	1,8382	14	1,7713	13	1,7096	12	1,6526	11	1,5997	10	1,5505	9
74	2,1707	20	2,0753	18	1,9886	16	1,9094	15	1,8368	14	1,7700	13	1,7084	11	1,6515	11	1,5987	10	1,5496	10
76	2,1687	20	2,0735	18	1,9870	17	1,9079	15	1,8354	14	1,7687	12	1,7073	12	1,6504	11	1,5977	11	1,5486	9
78	2,1667	20	2,0717	18	1,9853	16	1,9064	15	1,8340	14	1,7675	13	1,7061	12	1,6493	11	1,5966	10	1,5477	9
80	2,1647	20	2,0699	18	1,9837	17	1,9049	15	1,8326	14	1,7662	13	1,7049	12	1,6482	11	1,5956	10	1,5468	10
82	2,1627	20	2,0681	18	1,9820	16	1,9034	15	1,8312	13	1,7649	13	1,7037	12	1,6471	11	1,5946	10	1,5458	9
84	2,1607	20	2,0663	18	1,9804	17	1,9019	15	1,8299	13	1,7636	12	1,7025	11	1,6460	11	1,5936	10	1,5449	10
86	2,1587	19	2,0645	18	1,9787	16	1,9004	15	1,8285	14	1,7624	13	1,7014	12	1,6449	11	1,5926	10	1,5439	9
88	2,1568	20	2,0627	18	1,9771	16	1,8989	15	1,8271	14	1,7611	13	1,7002	12	1,6438	10	1,5916	10	1,5430	9
90	2,1548	20	2,0609	18	1,9755	17	1,8974	15	1,8257	13	1,7598	12	1,6990	11	1,6428	11	1,5906	10	1,5421	10
92	2,1528	19	2,0591	17	1,9738	16	1,8959	15	1,8244	14	1,7586	13	1,6979	12	1,6417	11	1,5896	10	1,5411	9
94	2,1509	20	2,0574	18	1,9722	16	1,8944	15	1,8230	14	1,7573	12	1,6967	12	1,6406	11	1,5886	10	1,5402	9
96	2,1489	19	2,0556	18	1,9706	16	1,8929	15	1,8216	14	1,7561	13	1,6955	11	1,6395	11	1,5876	10	1,5393	10
98	2,1470	20	2,0538	18	1,9690	17	1,8914	15	1,8202	13	1,7548	13	1,6944	12	1,6384	10	1,5866	10	1,5383	9
100	2,1450	20	2,0520	18	1,9673	17	1,8899	15	1,8189	14	1,7535	13	1,6932	12	1,6374	10	1,5856	10	1,5374	9

υ	30	31	32	33	34	40	41	42	43	44										
00	1,5374	9	1,4925	9	1,4506	8	1,4114	8	1,3747	8	1,1959	5	1,1717	5	1,1488	4	1,1271	4	1,1066	4
02	1,5365	10	1,4916	8	1,4498	8	1,4106	7	1,3739	7	1,1954	5	1,1712	4	1,1484	5	1,1267	4	1,1062	4
04	1,5355	9	1,4908	9	1,4490	8	1,4099	8	1,3732	7	1,1949	5	1,1708	5	1,1479	4	1,1263	4	1,1058	4
06	1,5346	9	1,4899	9	1,4482	8	1,4091	7	1,3725	7	1,1944	5	1,1703	5	1,1475	5	1,1259	5	1,1054	4
08	1,5337	9	1,4890	8	1,4474	8	1,4084	8	1,3718	7	1,1939	5	1,1698	5	1,1470	4	1,1254	4	1,1050	4
10	1,5328	10	1,4882	9	1,4466	8	1,4076	7	1,3711	7	1,1934	5	1,1693	4	1,1466	5	1,1250	4	1,1046	4
12	1,5318	9	1,4873	8	1,4458	8	1,4069	8	1,3704	7	1,1929	5	1,1689	5	1,1461	4	1,1246	4	1,1042	4
14	1,5309	9	1,4865	9	1,4450	9	1,4061	7	1,3697	7	1,1924	5	1,1684	5	1,1457	4	1,1242	4	1,1038	4
16	1,5300	9	1,4856	9	1,4441	8	1,4054	8	1,3690	7	1,1919	5	1,1679	4	1,1453	5	1,1238	5	1,1034	4
18	1,5291	9	1,4847	8	1,4433	8	1,4046	7	1,3683	7	1,1914	5	1,1675	5	1,1448	4	1,1233	4	1,1030	4
20	1,5282	10	1,4839	9	1,4425	8	1,4039	8	1,3676	7	1,1909	5	1,1670	5	1,1444	5	1,1229	4	1,1026	4
22	1,5272	9	1,4830	8	1,4417	8	1,4031	7	1,3669	7	1,1904	4	1,1665	4	1,1439	4	1,1225	4	1,1022	4
24	1,5263	9	1,4822	9	1,4409	8	1,4024	8	1,3662	7	1,1900	5	1,1661	5	1,1435	4	1,1221	4	1,1018	4
26	1,5254	9	1,4813	8	1,4401	7	1,4016	7	1,3665	7	1,1895	5	1,1656	4	1,1431	5	1,1217	4	1,1014	4
28	1,5245	9	1,4805	9	1,4394	8	1,4009	8	1,3648	7	1,1890	5	1,1652	5	1,1426	4	1,1213	5	1,1010	4
30	1,5236	9	1,4796	8	1,4386	8	1,4001	7	1,3641	7	1,1885	5	1,1647	5	1,1422	4	1,1208	5	1,1006	4
32	1,5227	9	1,4788	8	1,4378	8	1,3994	8	1,3634	7	1,1880	5	1,1642	5	1,1417	5	1,1204	4	1,1002	4
34	1,5218	9	1,4780	8	1,4370	8	1,3986	7	1,3627	7	1,1875	5	1,1638	4	1,1413	4	1,1200	4	1,0998	3
36	1,5209	9	1,4771	9	1,4362	8	1,3979	7	1,3620	7	1,1870	5	1,1633	5	1,1408	4	1,1196	4	1,0995	4
38	1,5200	9	1,4762	8	1,4354	8	1,3972	8	1,3613	7	1,1865	5	1,1628	4	1,1404	4	1,1192	4	1,0991	4
40	1,5191	9	1,4754	8	1,4346	8	1,3964	7	1,3606	7	1,1860	4	1,1624	5	1,1400	4	1,1188	4	1,0987	4
42	1,5182	9	1,4746	9	1,4338	8	1,3957	8	1,3599	7	1,1856	5	1,1619	4	1,1396	4	1,1184	5	1,0983	4
44	1,5173	9	1,4737	8	1,4330	8	1,3949	7	1,3592	7	1,1851	5	1,1615	5	1,1392	5	1,1179	4	1,0979	4
46	1,5164	9	1,4729	9	1,4322	7	1,3942	7	1,3585	7	1,1846	5	1,1610	5	1,1387	5	1,1175	4	1,0975	4
48	1,5155	9	1,4720	8	1,4315	8	1,3935	8	1,3578	6	1,1841	5	1,1605	4	1,1382	4	1,1171	4	1,0971	4
50	1,5146	9	1,4712	8	1,4307	8	1,3927	7	1,3572	7	1,1836	5	1,1601	5	1,1378	4	1,1167	4	1,0967	4
52	1,5137	9	1,4704	9	1,4299	8	1,3920	7	1,3565	7	1,1831	5	1,1596	4	1,1374	4	1,1163	4	1,0963	4
54	1,5128	9	1,4695	8	1,4291	8	1,3913	8	1,3558	7	1,1826	4	1,1592	5	1,1370	5	1,1159	4	1,0959	4
56	1,5119	9	1,4687	8	1,4283	8	1,3905	8	1,3551	7	1,1822	5	1,1587	4	1,1365	4	1,1155	4	1,0955	3
58	1,5110	9	1,4679	9	1,4275	7	1,3898	7	1,3544	7	1,1817	5	1,1583	5	1,1361	4	1,1151	4	1,0952	4
60	1,5101	9	1,4670	8	1,4268	8	1,3891	8	1,3537	7	1,1812	5	1,1578	4	1,1357	5	1,1147	4	1,0948	4
62	1,5092	9	1,4662	8	1,4260	8	1,3883	7	1,3530	7	1,1807	5	1,1574	5	1,1352	4	1,1143	4	1,0944	4
64	1,5083	9	1,4654	9	1,4252	8	1,3876	7	1,3523	7	1,1802	4	1,1569	5	1,1348	4	1,1139	5	1,0940	4
66	1,5074	9	1,4645	8	1,4244	7	1,3869	7	1,3517	7	1,1798	5	1,1564	4	1,1344	5	1,1134	4	1,0936	4
68	1,5065	9	1,4637	8	1,4237	8	1,3862	8	1,3510	7	1,1793	5	1,1560	5	1,1339	4	1,1130	4	1,0932	4
70	1,5056	8	1,4629	8	1,4229	8	1,3854	7	1,3503	7	1,1788	5	1,1555	4	1,1335	4	1,1126	4	1,0928	3
72	1,5048	9	1,4621	9	1,4221	8	1,3847	7	1,3496	7	1,1783	4	1,1551	5	1,1331	4	1,1122	4	1,0925	4
74	1,5039	9	1,4612	8	1,4213	7	1,3840	7	1,3489	6	1,1779	5	1,1546	4	1,1327	5	1,1118	4	1,0921	4
76	1,5030	9	1,4604	8	1,4206	8	1,3833	8	1,3483	7	1,1774	5	1,1542	5	1,1322	4	1,1114	4	1,0917	4
78	1,5021	9	1,4596	8	1,4198	8	1,3825	7	1,3476	7	1,1769	5	1,1537	4	1,1318	4	1,1110	4	1,0913	4
80	1,5012	8	1,4588	8	1,4190	7	1,3818	7	1,3469	7	1,1764	5	1,1533	5	1,1314	4	1,1106	4	1,0909	4
82	1,5004	8	1,4579	9	1,4183	8	1,3811	7	1,3462	6	1,1759	4	1,1528	4	1,1309	4	1,1102	4	1,0905	3
84	1,4995	9	1,4571	8	1,4175	8	1,3804	7	1,3456	7	1,1755	5	1,1524	5	1,1305	4	1,1098	4	1,0902	4
86	1,4986	9	1,4563	8	1,4167	7	1,3797	8	1,3449	7	1,1750	5	1,1519	5	1,1301	4	1,1094	4	1,0898	4
88	1,4977	8	1,4555	8	1,4160	8	1,3789	7	1,3442	7	1,1745	5	1,1514	4	1,1297	5	1,1090	4	1,0894	4
90	1,4969	9	1,4547	9	1,4152	8	1,3782	7	1,3435	6	1,1740	4	1,1510	4	1,1292	4	1,1086	4	1,0890	4
92	1,4960	9	1,4538	8	1,4144	7	1,3775	7	1,3429	7	1,1736	5	1,1506	5	1,1288	4	1,1082	4	1,0886	4
94	1,4951	9	1,4530	8	1,4137	8	1,3768	7	1,3422	7	1,1731	5	1,1501	4	1,1284	4	1,1078	4	1,0882	3
96	1,4942	8	1,4522	8	1,4129	7	1,3761	7	1,3415	7	1,1726	4	1,1497	5	1,1280	5	1,1074	4	1,0879	4
98	1,4934	9	1,4514	8	1,4122	8	1,3754	7	1,3408	6	1,1722	5	1,1492	4	1,1275	4	1,1070	4	1,0875	4
100	1,4925		1,4506		1,4114		1,3747		1,3402		1,1717		1,1488		1,1271		1,1066		1,0871	

Приложение 3

«Ключ» минералов по межплоскостным расстояниям.

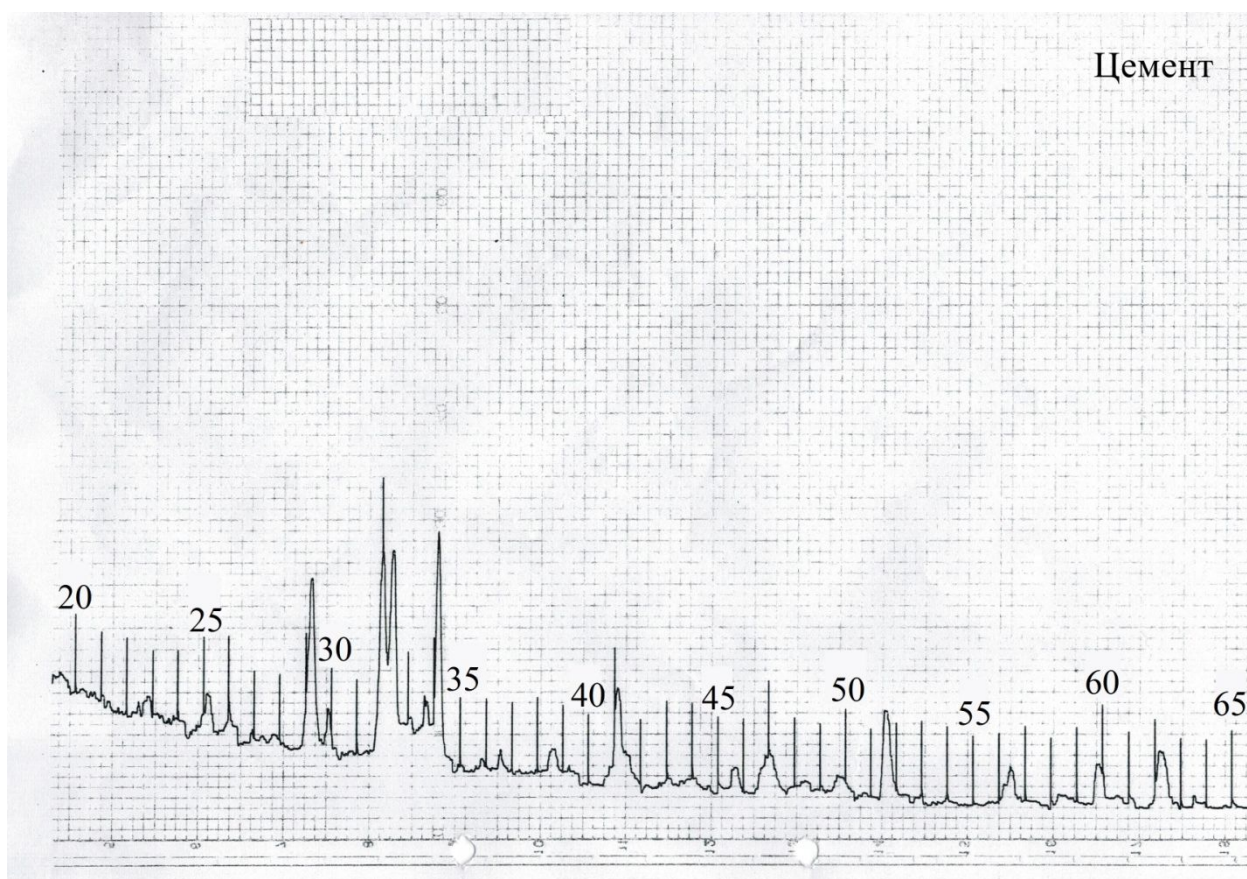
1. Кварц – 4,24; 3,34₁₀; 2,45₅; 2,28₅; 2,23₄; 2,12₅; 1,813₉; 1,66₅; 1,539₉.
2. Ортоклаз ($K_2O \cdot Al_2O_3 \cdot 6SiO_2$) – 4,02₉; 3,88; 3,18₁₀; 2,99₇; 2,92₇; 2,53₇; 2,09₇; 1,82₇; 1,77₇.
3. Микроклин - 3,58₄; 3,46₄; 3,35₄; 3,22₁₀; 2,16₇; 1,80₈.
4. Альбит ($NaO \cdot Al_2O_3 \cdot 6SiO_2$) – 3,21₁₀; 2,95₆; 2,55₄; 2,31₄; 1,88₅; 1,82₅.
5. Олигоклаз - 3,18₁₀; 2,90₆; 2,59₄; 2,52₆; 2,43₅; 2,29₅; 2,10₆; 1,83₆.
6. Лабрадор - 3,22₁₀; 2,53₆; 2,12₄; 2,106₅; 1,824₆; 1,766₆; 1,595.
7. Анортит ($CaO \cdot Al_2O_3 \cdot 2SiO_2$) – 4,05₈₀; 3,21₁₀; 3,2₁₀; 3,18₉₀; 2,51; 2,5₆; 2,13₆; 1,83₅; 1,76₅.
8. Авгит – (моноклинный пироксен $Ca(Mg, Fe^{2+}, Al \cdot Fe^{3+})(Si, Al)_2O_6$) – 2,98; 2,54; 2,52; 2,12; 2,017; 1,619; 1,55; 1,50; 1,42₁₀₀; 1,32₈₀; 1,27₇₀; 1,07₁₀₀.
9. Каолинит ($Al_2O_3 \cdot 2SiO_2 \cdot 2H_2O$) – 3,57₁₀; 2,77₄; 2,559₄; 2,338₈; 2,29₆; 1,99₆; 1,78₅; 1,66₇; 1,48₁₀.
10. а) Монтмориллонит ($Al_2O_3 \cdot 4SiO_2 \cdot nH_2O$) – 4,45₈; 2,57₇; 1,697₅; 1,6525₅; 1,495₁₀.
- б) Монтмориллонит – 2,55₈; 2,47₄; 1,69₆; 1,65₆; 1,49₈.
11. Магнетит (Fe_3O_4) – 2,97; 2,54₁₀; 2,098₇; 1,71₅; 1,61₅; 1,485; 1,479₉.
12. Гематит (Fe_2O_3) – 2,69₁₀; 2,518₁₀; 2,51; 2,199₆; 1,834₁₀; 1,83; 1,688₁₀; 1,483₉.
13. Пирит (FeS) – 2,69₈; 2,417₈; 2,206₇; 1,908₆; 1,629₁₀; 1,498₄; 1,444₆.
14. Роговая обманка – 2,73; 2,57; 2,19.
15. $CaCO_3$ - 3,03; 1,90; 1,86.
15. Кальцит $CaCO_3$ – 3,03₁₀; 2,49₅; 2,09₇; 1,912₈; 1,869₉; 2,28₆; 3,849₂; 1,60₆; 1,52₆.
16. Гидромусковит – 5,02₈; 4,51₆; 3,62₈; 3,34₁₀; 3,09₈; 2,89₈; 2,59₁₀; 2,47₆; 2,39₈; 2,135₈; 1,994₁₀; 1,64₈.
17. Серицит – 3,87₆; 3,75₈; 3,44₈; 3,32₁₀; 3,22₁₀; 2,99₈; 2,85₆; 2,77₆; 2,56₁₀; 2,38₆; 2,13₆; 1,99₄.
18. Мусковит ($K(AlFeO)Si_3Al_2$) - 4,52₇; 3,50₅; 3,34₉; 3,20₄; 3,095₆; 2,86₇; 2,568₁₀; 2,37₇; 1,98₈.
19. Биотит – 3,34₁₀; 2,63₈; 2,44₆.
20. Эпидот – 3,97; 2,82₆; 2,68₆; 2,60₆; 2,40₈; 2,07₄.
21. Диапсидоподобная фаза $CaOMgO_2SiO_2$ – 3.24₈₀; 3.23; 3.00; 2.99; 2.89; 2.54; 2.52₁₀; 2.51; 2.12₅; 1.74₇; 1.63; 1.62.
23. Шпинели – 2,42; 2,495.
24. Магнетит (Fe_3O_4) – 2,97; 2,53; 1,485.
25. Геденбергит $CaFe(SiO_3)_2$ – 3.23₈₀; 3,01; 2,98₁₀₀; 2,94₇₀.

26. Кордиерит $2\text{MgO} \cdot \text{Al}_2\text{O}_3 \cdot 5\text{SiO}_2$
27. Флюорит CaF_2 – 3,148₇; 1,928₁₀; 1,64₇.
28. Магнезиоферрит $\text{MgO} \cdot \text{Fe}_2\text{O}_3$ – 2,96; 2,52₁₀₀; 2,09₇; 2,07₉; 1,77₄; 1,71₄; 1,609₈; 1,47₁₀₀.
29. Гематит Fe_2O_3 – 2,69; 2,51; 1,83; 1,69₈₀.
30. Мелилит $\text{CaO} \cdot \text{Al}_2\text{O}_3 \cdot 2\text{SiO}_2$ (моноклин, пироксен) – 3,07; 2,85; 1,75.
31. Пироксен (диапсид, геденберит, авгит, эгирин, энстатит, бронзит, гипертит) – 3,41₂; 3,33; 3,22; 3,21₆; 3,00₁₀; 2,98; 2,95; 2,938₁₀; 2,89; 2,55; 2,5196; 2,517; 2,288; 2,224; 2,20; 2,19; 2,14; 2,126; 2,12; 2,03; 2,008; 1,824; 1,74; 1,660; 1,627; 1,527; 1,524; 1,499; 1,40.
32. Волластонит CaOSiO_2 – 3,83₈₀; 3,52₄₀; 3,30₈; 2,988; 2,98₁₀₀; 2,97₁₀₀; 2,16₆; 1,70₇; 1,594₆.
33. а) Муллит $3\text{Al}_2\text{O}_3 \cdot 2\text{SiO}_2$ – 3,41₇₅; 3,38₁₀₀; 2,518₈; 2,20₄₀; 2,196₉; 1,69₈; 1,52₉.
б) Муллит – 3,38₁₀; 3,35₁₀; 3,33; 2,70₉; 2,69₉; 2,68₈; 2,54₉; 2,28₁₀; 2,20₈; 2,123₈; 2,00₈; 1,88₇; 1,84₇; 1,839₈; 1,52₇.
34. Геленит $2\text{CaO} \cdot \text{Al}_2\text{O}_3 \cdot \text{SiO}_2$ – 2,85₁₀₀; 1,75₁₀₀; 3,07₅.
35. Диопсид $\text{CaO} \cdot \text{MgO} \cdot 2\text{SiO}_2$ – 3,23₈₀; 2,98₁₀₀; 2,94₇₀.
36. Гиденбергит $\text{CaO} \cdot \text{FeO} \cdot 2\text{SiO}_2$ – 3,23₈₀; 2,98₁₀₀; 2,94₇₀.
37. Монтичеллит $\text{CaO} \cdot \text{MgO} \cdot \text{SiO}_2$ – ($d=2,65; 1,801; 1,583\text{A}^0$).
38. Псевдоволластонит CaOSiO_2 – ($d=3,23_8; 2,80_6; 1,98_{100}\text{A}^0$).
39. CaO – 2,76₄; 2,39₁₀; 1,69₆; 1,44₂ ~ 2,778_{cp}; 2,405_{oc}; 1,701_c; 1,451_{cl}; 1,390_{oc}.
40. Клиноптилолит – 8,88₉; 7,9₅; 6,67₄; 5,25₅; 5,10₆; 4,66₆; 3,96₆; 3,75₅; 3,42₅; 2,94₆; 2,79₄.
41. C_2S ($2\text{CaO} \cdot \text{SiO}_2$) – 2,87; 2,28; 2,77; 1,98; 2,18.
42. C_3S ($3\text{CaO} \cdot \text{SiO}_2$) – 3,02; 2,178; 1,48; 2,776_{oc}; 2,73_c; 2,602_{oc}; 2,185_{oc}; 1,926_{cp}; 1,771_c.
43. CS ($\text{CaO} \cdot \text{SiO}_2$) – 3,83₉; 3,52_{cp}; 3,31₉; 2,97₁₀.
44. NaFe (виллиомит) – 2,68; 2,32₁₀; 1,64₁₀; 1,34₉; 1,31₂; 1,16₆; 1,04₈; 0,95₇; 0,82; 0,77₅.
45. CaSO_4 (Ангидрит) – 3,49₁₀; 2,85₈; 2,46₂; 2,32₆; 2,20₆; 2,08₃; 1,99₃; 1,86₇; 1,74₆; 1,64₈; 1,56₃; 1,48₄; 1,39₄; 1,32₅.
46. KF (фтористый калий) – 3,08₇; 2,66₁₀; 1,88₉; 1,60₅; 1,54₈; 1,33₃; 1,19₈; 1,089₆.
47. $\text{CaSO}_4 \cdot 2\text{H}_2\text{O}$ – гипс (двувод.) – 7,560₁₀; 4,27₈; 3,79₆; 3,163; 3,059₈; 2,867₇; 2,786₄; 2,679₄; 2,591₄.

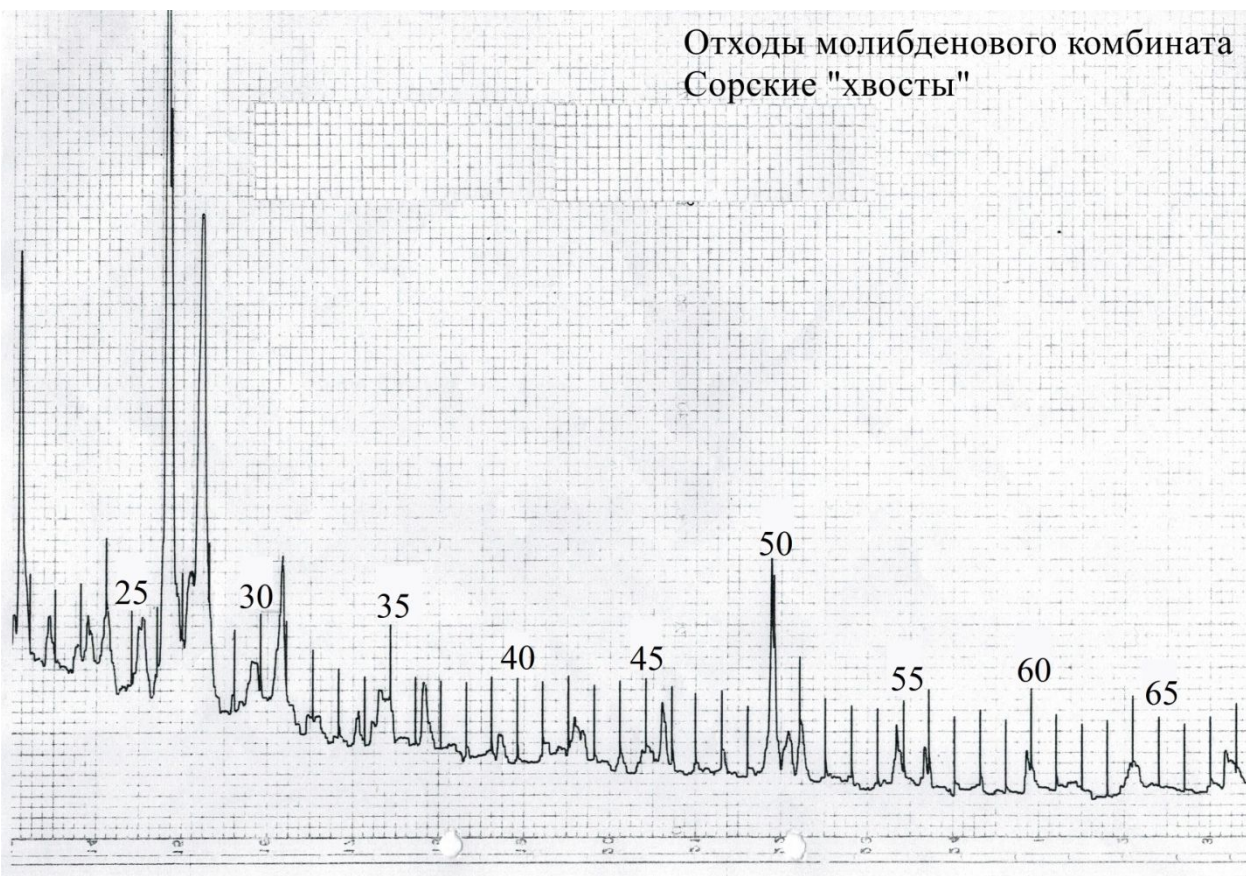
Преимущественные минералы в исследуемом сырье.

1. Цемент №39-47.
2. Сорские «хвосты» (отходы флотации молибдена),
Зола ТЭЦ -1, - №1-8, 11-14,29-37
Зола ТЭЦ-2
3. Глины легкоплавкие, тугоплавкие, огнеупорные
Цеолит - №9-40
4. Кек белый, кек красный (отходы обогащения цветных металлов) -
№11-16, №39-47
5. Кварцевые формовочные земли - №1-7, 11-14, 29-31

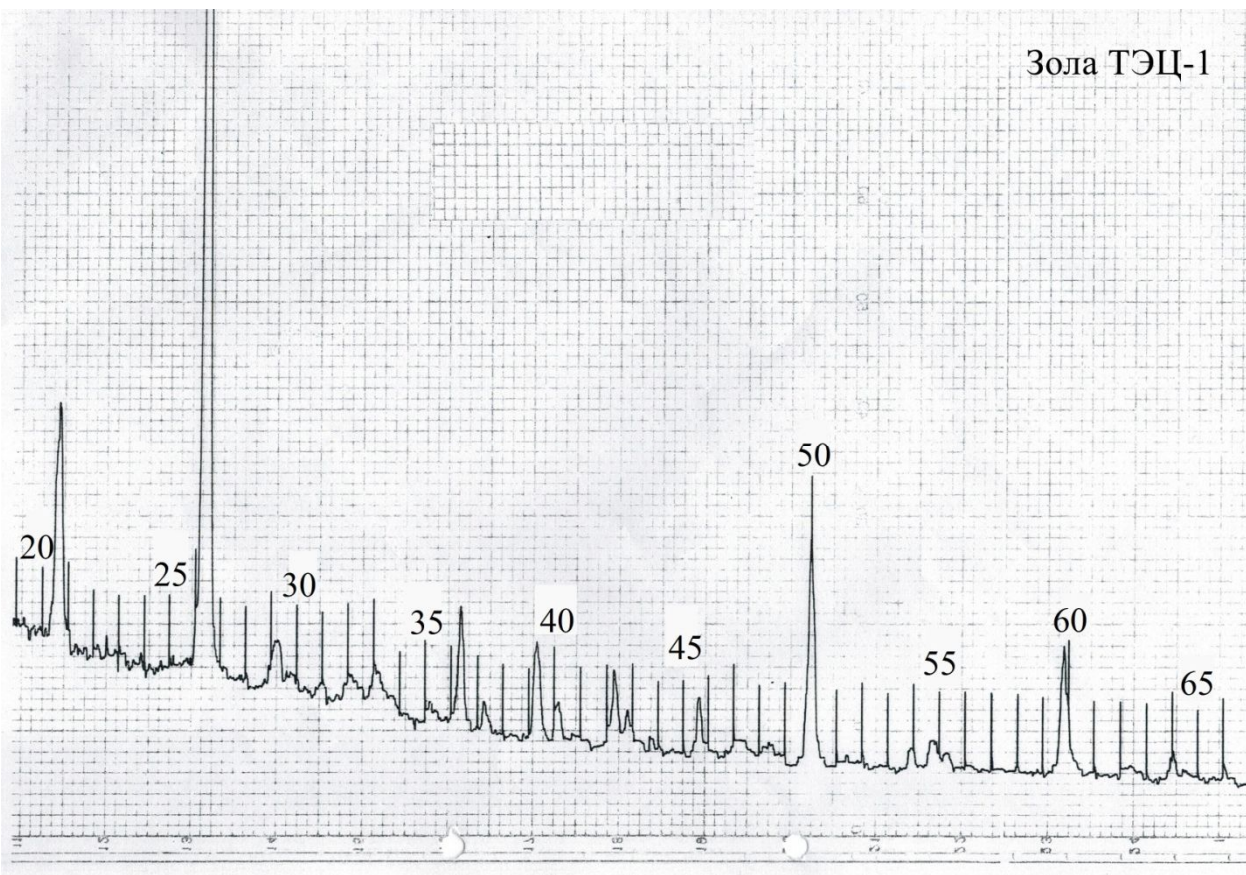
Приложение 4



Отходы молибденового комбината
Сорские "хвосты"



Зола ТЭЦ-1



Глина тугоплавкая
"Кантатского" месторождения

